АНАЛИЗ КВАНТОВОГО ПРЕИМУЩЕСТВА В ЗАДАЧЕ СЛУЧАЙНОГО ПОИСКА/АНТИПОИСКА ДВУХ ПАРТНЕРОВ НА БЕСКОНЕЧНОЙ ПЛОСКОСТИ

 $B.\ A.\ Томилин^*,\ A.\ M.\ Ростом,\ Л.\ B.\ Ильичёв$

Институт автоматики и электрометрии Сибирского отделения Российской академии наук 630090, Новосибирск, Россия

Поступила в редакцию 19 июля 2025 г., после переработки 7 октября 2025 г. Принята к публикации 9 октября 2025 г.

Рассматривается задача о дискретных случайных блужданиях на плоскости двух участников, не имеющих средств связи и общих ориентиров, но обладающих ресурсом запутанных квантовых частиц. В зависимости от заранее определенного протокола их использования возможна модификация вероятности сближения/расхождения участников в результате последовательности шагов по отношению к аналогичным вероятностям, возникающим при обычном классическом случайном блуждании. Проведено сравнение эффективности квантовых и классического протокола по различным критериям и сформулированы условия, при которых использование квантовых протоколов дает преимущество.

DOI: 10.7868/S3034641X25120023

1. ВВЕДЕНИЕ

Квантовые корреляции играют центральную роль в задачах квантовой обработки информации [1], изучении фундаментальных основ квантовой механики [2], а также в физике сильнокоррелированных систем [3]. Специфический вид чисто квантовых корреляций — запутанность — часто выступает в качестве ресурса, дающего превосходство в различных ситуациях, например, в задачах квантовой коммуникации [4,5] и квантовой криптографии [6–8]. Весьма интересной областью, позволяющей лучше изучить фундаментальные свойства запутанности, является теория нелокальных квантовых игр¹⁾ [9]. Их особенностью является ограниченность или полное отсутствие средств коммуникации между участниками. Квантовые корреляции при этом являются необходимым ингредиентом, позволяющим в таких условиях достичь уровня согласованности действий, невозможного с использованием классических стратегий.

Примером может служить классическая игра Мермина – Переса [10,11]. Настоящая работа посвящена относительно слабо исследованной разновидности квантовых игр, связанных с движением участников в пространстве. А именно, рассматривается задача о взаимном поиске (сосредоточении)2) или антипоиске (рассредоточении) двух участников, А и В, на плоской поверхности в отсутствие знания начального местоположения друг друга, средств связи и общих ориентиров³⁾. В таком случае единственным вариантом действий являются блуждания наугад. Однако участники имеют доступ к ресурсу распределенной между ними запутанности в виде набора пронумерованных пар частиц со спином 1/2 в синглетных состояниях, причем каждый участник обладает только одной частицей из каждой пары.

Будем полагать, что участники движутся дискретно, каждый раз сдвигаясь на расстояние l в случайных направлениях, определяемых следую-

^{*} E-mail: 8342tomilin@mail.ru

¹⁾ Здесь и далее мы будем иметь в виду кооперативные квантовые игры, в которых коллектив участников сообща решает некоторую задачу.

²⁾ Предполагается, что при сближении на достаточно малое расстояние участники могут обнаружить друг друга визуально или еще каким-либо образом.

³⁾ В наиболее актуальной, как нам представляется, реализации данной игры участники представляют собой корабли или подводные лодки в некоторой области мирового океана. В таком случае важно также заранее уточнить отсутствие приборов инерциальной навигации на борту кораблей, чтобы соблюсти условие об отсутствии внешних ориентиров.

щим образом. Сначала каждый из них выбирает направление случайного единичного вектора $\mathbf{n}_{A,B}$, имеющего равномерное распределение по азимутальному углу на плоскости. Затем участники осуществляют измерение удвоенных проекций спинов $\sigma_{A,B} \in \{1,-1\}$ своих частиц из одной синглетной пары вдоль выбранных случайных направлений. В зависимости от цели A и B используют одну из двух заранее согласованных стратегий: смещаются на $\sigma_A \mathbf{n}_A l$ и $-\sigma_B \mathbf{n}_B l$ для увеличения вероятности случайного сближения или на $\sigma_A \mathbf{n}_A l$ и $\sigma_B \mathbf{n}_B l$ для более быстрого (в среднем) взаимного удаления [12]. Эти утверждения доказываются расчетом среднеквадратичного расстояния между участниками после однократных совместных смещений:

$$\langle r'^2 \rangle_{\pm}^{(1)} = \sum_{\sigma_A, \sigma_B} \int [\mathbf{r}_A - \mathbf{r}_B + \sigma_A \mathbf{n}_A l \pm \sigma_B \mathbf{n}_B l]^2 \times \times p(\sigma_A, \sigma_B | \mathbf{n}_A, \mathbf{n}_B) \frac{d^2 \mathbf{n}_A}{2\pi} \frac{d^2 \mathbf{n}_B}{2\pi}. \quad (1)$$

Здесь $\mathbf{r}_{A,B}$ — начальные положения участников относительно выбранного начала координат на плоскости, а распределение вероятности исходов измерений над частицами синглетной пары дается выражением

$$p(\sigma_A, \sigma_B | \mathbf{n}_A, \mathbf{n}_B) = \frac{1}{4} \left[1 - \sigma_A \sigma_B (\mathbf{n}_A \cdot \mathbf{n}_B) \right].$$
 (2)

Коэффициенты $1/2\pi$ отражают случайность выборов направлений \mathbf{n}_A и \mathbf{n}_B .

При смещениях на $\sigma_A \mathbf{n}_A l$ и $-\sigma_B \mathbf{n}_B l$ соответственно (будем называть данный алгоритм квантовым протоколом «+»)⁴⁾

$$\langle r'^2 \rangle_+^{(1)} = r^2 + l^2,$$
 (3)

а если смещение происходит на $\sigma_A \mathbf{n}_A l$ и $\sigma_B \mathbf{n}_B l$ (квантовый протокол «—»), то

$$\langle r'^2 \rangle_{-}^{(1)} = r^2 + 3l^2.$$
 (4)

Здесь $r^2 = (\mathbf{r}_A - \mathbf{r}_B)^2$. В ситуации полностью случайных блужданий в отсутствие корреляций спинов частиц (протокол «0») результат оказывается «средним» между (3) и (4):

$$\langle r'^2 \rangle_0^{(1)} = r^2 + 2l^2.$$
 (5)

Таким образом, можно утверждать, что *вероятность* сближения после одного шага выполнения квантового протокола «+» повышается по сравнению с классическим протоколом «0», т. е. он потенциально пригоден для решения задачи взаимного поиска. Аналогично, протокол «-» лучше решает задачу антипоиска.

Приведенные результаты несут очень скудную информацию об используемых стратегиях — они относятся к результатам только одного шага участников и касаются только среднеквадратичного расстояния между ними⁵). Остается неизвестной дисперсия конечного расстояния и ее зависимость от числа шагов. Еще более важная и детальная информация содержится в вероятностях сближения/расхождения, позволяющих определять шансы успеха используемых стратегий в сценариях различной длительности. Целью данной работы является построение и анализ полной модели, позволяющей сравнивать корреляции между расположениями участников при произвольной длине цепочки шагов.

2. МОДЕЛЬ

Для анализа относительного движения участников следует определить плотность вероятности $P^{(n)}(r'|r)$ оказаться на расстоянии r' друг от друга спустя n шагов протокола при условии, что начальное расстояние между участниками было равно r. В свою очередь, указанное распределение может быть получено из плотности вероятности $P^{(n)}(\mathbf{r}'|\mathbf{r})$, учитывающей не только расстояние между агентами, но и угол $\varphi \doteq \angle(\mathbf{r}',\mathbf{r})$ между векторами \mathbf{r} и \mathbf{r}' , соединяющими их начальные и конечные положения соответственно:

$$P^{(n)}(r'|r) = r' \int_{0}^{2\pi} P^{(n)}(\mathbf{r}'|\mathbf{r}) d\varphi,$$

$$\int_{0}^{\infty} P^{(n)}(r'|r) dr' = 1.$$
(6)

Рассмотрим первый шаг классического протокола «0». Пусть в качестве случайных направлений смещения были выбраны векторы $\mathbf{n}_{A,B}$, ориентирован-

 $^{^{4)}}$ Мы сохраняем обозначения, введенные в работе [12]. Они совпадают со знаками в записи вектора \mathbf{r}' в (1) (см. также (10)), связывающего расположения участников после совершения последовательности шагов в рамках выбранного протокола.

⁵⁾ Поскольку между параметрами последовательных смещений корреляции отсутствуют, выражения для среднеквадратичного расстояния $\langle r'^2 \rangle_{\pm,0}^{(n)}$ после n шагов отличаются от (3)–(5) множителем n перед l^2 .

ные вдоль азимутальных углов $\varphi_{A,B}$ относительно некоторой общей системы координат. Тогда

$$\mathbf{r}' = \mathbf{r} + l\mathbf{n}_A - l\mathbf{n}_B. \tag{7}$$

В этом случае искомое распределение может быть вычислено аналитически:

$$P_0^{(1)}(\mathbf{r}'|\mathbf{r}) = \int_0^{2\pi} \frac{d\varphi_A}{2\pi} \int_0^{2\pi} \frac{d\varphi_B}{2\pi} \delta^{(2)}(\mathbf{r}' - \mathbf{r} - l\mathbf{n}_A + l\mathbf{n}_B) =$$

$$= \frac{1}{2\pi} \int_0^{\infty} J_0(k|\mathbf{r}' - \mathbf{r}|) J_0^2(kl) k dk =$$

$$= \begin{cases} \frac{1}{\pi^2 \sqrt{4l^2 |\mathbf{r}' - \mathbf{r}|^2 - |\mathbf{r}' - \mathbf{r}|^4}}, & |\mathbf{r}' - \mathbf{r}| \leq 2l; \\ 0, |\mathbf{r}' - \mathbf{r}| > 2l, \end{cases}$$
(8)

где J_n — функция Бесселя первого рода целого порядка n. Следует отметить, что возникающий интеграл с тремя функциями Бесселя одного порядка автоматически обращается в нуль при нарушении свойства треугольника для аргументов функций [13], т. е. даваемое этим интегралом выражение является универсально справедливым во всем диапазоне значений $|\mathbf{r}' - \mathbf{r}|$. Условие в нижней строке фигурной скобки в (8), таким образом, лишь констатирует физически ясный результат о невозможности изменения расстояния между участниками больше чем на 2nl за n шагов. Это обстоятельство окажется важным в дальнейшем.

Рассматривая произвольное число шагов, характеризующихся векторами смещения $\mathbf{n}_{A,B}^{(i)}$, при помощи аналогичных рассуждений получаем

$$P_0^{(n)}(\mathbf{r}'|\mathbf{r}) = \int_0^{2\pi} \frac{d\varphi_A^{(n)}}{2\pi} \int_0^{2\pi} \frac{d\varphi_B^{(n)}}{2\pi} \dots$$

$$\dots \int_0^{2\pi} \frac{d\varphi_A^{(1)}}{2\pi} \int_0^{2\pi} \frac{d\varphi_B^{(1)}}{2\pi} \delta^{(2)}(\mathbf{r}' - \mathbf{r} - l \sum_{i=1}^n \mathbf{n}_A^{(i)} + l \sum_{i=1}^n \mathbf{n}_B^{(i)}) =$$

$$= \frac{1}{2\pi} \int_0^{\infty} J_0(k|\mathbf{r}' - \mathbf{r}|) J_0^{2n}(kl) k dk. \quad (9)$$

В общем случае интеграл аналитически не вычисляется, однако, как и в случае (8), можно утверждать, что он обращается в нуль в диапазоне $|\mathbf{r}' - \mathbf{r}| > 2nl$ [13].

В случае использования квантовых протоколов связь между начальными и конечными положениями участников после n шагов дается выражениями

$$\mathbf{r}' = \mathbf{r} + l \sum_{i=1}^{n} \sigma_A^{(i)} \mathbf{n}_A^{(i)} \pm l \sum_{i=1}^{n} \sigma_B^{(i)} \mathbf{n}_B^{(i)},$$
 (10)

где знаки совпадают с обозначениями квантовых протоколов. Чтобы получить выражения, аналогичные (8), необходимо дополнительно усреднить по распределению (2), а затем просуммировать по всем возможным исходам измерений:

$$P_{\pm}^{(n)}(\mathbf{r}'|\mathbf{r}) = \frac{1}{2\pi} \int_{0}^{\infty} J_0(k|\mathbf{r}' - \mathbf{r}|) (J_0^2(kl) \pm J_1^2(kl))^n k dk.$$
(11)

По сравнению с (9) выражение усложняется ввиду наличия под знаком интеграла функций Бесселя различных порядков. Тем не менее и в этом случае можно показать, что полученный интеграл обращается в нуль вне физически допустимого диапазона $|\mathbf{r}' - \mathbf{r}| \le 2nl \ [14]^{6}$. В случае n = 1 удается получить аналитические выражения:

$$P_{+}^{(1)}(\mathbf{r}'|\mathbf{r}) = \begin{cases} \frac{2 - |\mathbf{r}' - \mathbf{r}|^{2}/2l^{2}}{\pi^{2}\sqrt{4l^{2}|\mathbf{r}' - \mathbf{r}|^{2} - |\mathbf{r}' - \mathbf{r}|^{4}}}, \\ |\mathbf{r}' - \mathbf{r}| \leq 2l; \\ 0, |\mathbf{r}' - \mathbf{r}| > 2l, \end{cases}$$

$$P_{-}^{(1)}(\mathbf{r}'|\mathbf{r}) = \begin{cases} \frac{|\mathbf{r}' - \mathbf{r}|^{2}}{2\pi^{2}l^{2}\sqrt{4l^{2}|\mathbf{r}' - \mathbf{r}|^{2} - |\mathbf{r}' - \mathbf{r}|^{4}}}, \\ |\mathbf{r}' - \mathbf{r}| \leq 2l; \\ 0, |\mathbf{r}' - \mathbf{r}| > 2l. \end{cases}$$

$$(12)$$

Переход к распределениям $P_{0,\pm}^{(n)}(r'|r)$ осуществляется с помощью изменения порядка интегрирования по k и φ . При этом в силу отмеченного выше обращения в нуль интегралов с произведениями функций Бесселя для интегрирования по азимутальному углу φ можно взять интервал $(0,2\pi)$. Лишь одна из функций Бесселя во всех рассматриваемых подынтегральных выражениях зависит от этого угла, и результирующий интеграл по φ сводится к известному интегралу Гегенбауэра [13]:

$$\int_{0}^{2\pi} J_0(k|\mathbf{r}' - \mathbf{r}|) d\varphi = 2\pi J_0(kr') J_0(kr).$$
 (13)

⁶⁾ Главным условием обращения интеграла в нуль является тот факт, что функции Бесселя первого порядка входят в подынтегральные выражения в четных степенях. Необычное объяснение этого результата с физических позиций дано в [15], где похожие интегралы возникают при описании процессов переброса квазичастиц в кристаллических решетках.

Таким образом, распределения $P_{0,\pm}^{(n)}(r'|r)$ можно выразить в квадратурах:

$$P_0^{(n)}(r'|r) = r' \int_0^\infty J_0(kr') J_0(kr) J_0^{2n}(kl) k dk,$$

$$P_{\pm}^{(n)}(r'|r) = r' \int_0^\infty J_0(kr') J_0(kr) (J_0^2(kl) \pm J_1^2(kl))^n k dk.$$
(14)

В области |r'-r|>2nl указанные выражения тождественно обращаются в нуль. Отметим, что тот же самый результат можно было получить, рассматривая шаги последовательно с помощью распределения $P_{0,\pm}^{(1)}(r'|r)$ и интегрируя по промежуточным положениям участников:

$$P_{0,\pm}^{(n)}(r'|r) = \int_{0}^{\infty} dr^{(n-1)} \dots$$

$$\dots \int_{0}^{\infty} dr^{(1)} P_{0,\pm}^{(1)}(r'|r^{(n-1)}) P_{0,\pm}^{(1)}(r^{(n-1)}|r^{(n-2)}) \dots$$

$$\dots P_{0,\pm}^{(1)}(r^{(1)}|r). \tag{15}$$

Этот результат непосредственно доказывается по индукции при помощи теоремы о свертке для бесселевых функций (интеграл Неймана) [13]. В этом смысле для нахождения $P_{0,\pm}^{(n)}(r'|r)$ достаточно знать лишь $P_{0,\pm}^{(1)}(r'|r)$, однако выражения (14) существенно проще для практических вычислений.

з. РЕЗУЛЬТАТЫ И ОБСУЖДЕНИЕ

Вид распределений $P_{\pm,0}^{(n)}(r'|r)$ как функций r' при различных n приведен на рис. 1. В целом, за исключением случая n=1, все зависимости имеют ряд общих черт⁷⁾. При сильно разнесенных начальных положениях частиц $(r\gg l)$ все распределения

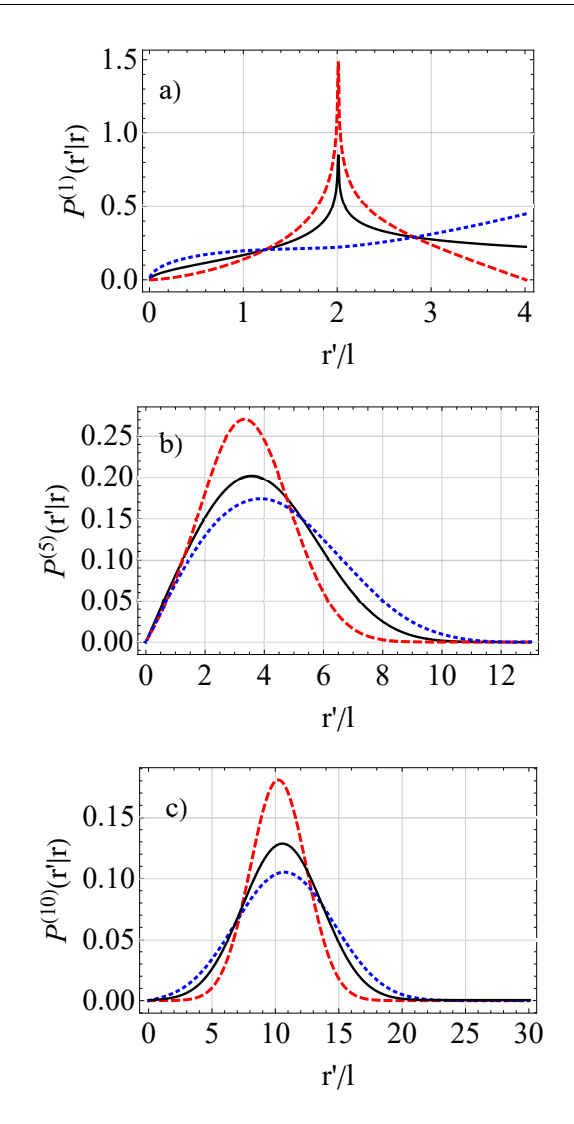
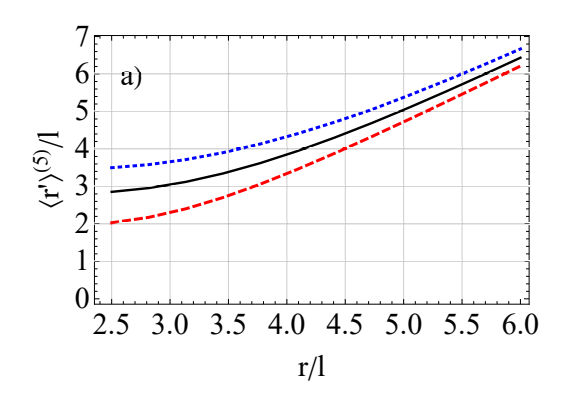


Рис. 1. Распределения $P_0^{(n)}(r'|r)$ (черные сплошные линии), $P_+^{(n)}(r'|r)$ (красные штриховые линии), $P_-^{(n)}(r'|r)$ (синие пунктирные линии) как функции r': a) n=1, r=2l; b) n=5, r=3l; c) n=10, r=10l

имеют максимумы в точках, близких к r, и ширины порядка nl. При этом значения максимумов наибольшие в квантовом протоколе «+» и наименьшие в случае квантового протокола «-». Таким образом, исходя из общего вида функций, можно утверждать, что протокол «-» по крайней мере обеспечивает наиболее вероятное изменение взаимного расстояния между участниками.

Дальнейшие анализ и сравнение движения участников при применении различных протоколов блужданий требуют введения количественных критериев эффективности поиска/антипоиска. Наиболее простой вариант — это одновременное сравнение среднего расстояния между A и $B \langle r' \rangle_{0.+}^{(n)}$

 $^{^{7)}}$ Визуальное отличие графиков для n=1 (рис. 1a) от остальных связано с сингулярным характером распределений $P_{0,\pm}^{(1)}(\mathbf{r}'|\mathbf{r})$ (см. (8),(12)). Из равенства r и r' следует равенство и самих векторов \mathbf{r},\mathbf{r}' (т. е. участники в этом случае должны совершать смещения в одном и том же направлении). $P_{0,+}^{(1)}(\mathbf{r}'|\mathbf{r})$ в этой точке сингулярны, а $P_{-}^{(1)}(\mathbf{r}'|\mathbf{r})$ обращается в нуль, что и объясняет наличие резких пиков в центральной области графика. При r'=0 умножение на r' в (6) обеспечивает стремление всех кривых к нулю. При r'=4l сингулярными являются $P_{0,-}^{(1)}(\mathbf{r}'|\mathbf{r})$, что в результате интегрирования по углам приводит к конечным значениям $P_{0,-}^{(1)}(\mathbf{r}'|\mathbf{r})$ в правой части графика.



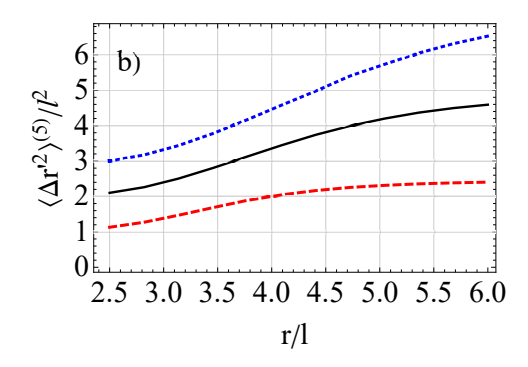


Рис. 2. Средние расстояния между участниками после n=5 шагов (a) и его квадратичные дисперсии (b) как функции начального расстояния r для классических случайных блужданий (черные сплошные линии), квантового протокола «+» (красные штриховые линии) и квантового протокола «-» (синие пунктирные линии)

и его дисперсии $\langle \Delta r'^2 \rangle_{0,\pm}^{(n)}$ в результате последовательности из n шагов. Это позволит определить наиболее вероятную область локализации участников и, таким образом, оценить пригодность протоколов для тех или иных целей. Результаты вычислений представлены на рис. 2а. С увеличением начального расстояния различие r' и rстановится малым, что согласуется с простыми геометрическими соображениями. Из приведенных графиков (их общий вид не меняется при увеличении числа шагов в последовательности) следует, что выводы, сделанные в [12] в результате анализа одного шага, остаются в целом справедливыми и для более длинных последовательностей шагов. Как при классических случайных блужданиях, так и при реализации квантовых протоколов расстояние между участниками в среднем увеличивается, однако использование квантовых корреляций позволяет замедлить либо ускорить расхождение. Это также подтверждается сравнением дисперсий (рис. 2b) более медленное расхождение в случае протокола «+» сопровождается также меньшей дисперсией.

Хотя блуждания носят случайный характер, тем не менее любопытно оценить вероятности после цепочки шагов обнаружить участников в некоторой заранее заданной области. Это особенно важно для задачи поиска, так как для нее желательно собраться на как можно меньшем расстоянии друг от друга. Вероятность оказаться в определенной области \mathcal{D} спустя n шагов равна

$$\operatorname{Prob}_{0,\pm}^{(n)}(r,\mathcal{D}) = \int_{\mathcal{D}} P_{0,\pm}^{(n)}(r'|r)dr'. \tag{16}$$

В качестве области \mathcal{D} можно рассматривать следующие варианты:

- 1) сближение как таковое ($\mathcal{D}_{con} = [0, r]$) либо расхождение как таковое ($\mathcal{D}_{div} = [r, r + 2nl]$);
- 2) для задачи поиска вероятность встречи, т. е. вероятность оказаться в радиусе прямой видимости l_{vis} ($\mathcal{D}_{vis} = [0, l_{vis}]$);
- 3) для задачи антипоиска вероятность оказаться в области шириной l_{div} на правом «крыле» распределений $P_{0,\pm}^{(n)}(r'|r)~(\mathcal{D}_{div}=[2nl-l_{div},2nl])$, т. е. удалиться на расстояние, близкое к максимально возможному.

Рассмотрим сначала задачу взаимного поиска участников в течение фиксированного числа шагов n и будем полагать, что начальное расстояние между участниками достаточно велико — $r \approx 2nl$. Дистанцию прямой видимости l_{vis} разумно выбрать равной длине шага протокола l. При таких условиях можно пренебречь вероятностью встречи участников до окончания всей последовательности шагов, т. е. можно использовать распределения (16), однако обратной стороной этих предположений является малая вероятность этой встречи в целом.

На рис. 3a представлены вероятности сближения как такового⁸⁾. Видно, что в терминах этого критерия общие соотношения между квантовыми и классическим протоколами такие же, как в терминах среднего и дисперсии: протокол «+» обеспечивает выигрыш в вероятности сближения, а протокол «-» — в вероятности расхождения. Относительный выигрыш в вероятности сближения/расхождения по сравнению с классическими случайными блужданиями может достигать $100\,\%$.

Рассмотрим теперь эффективность протоколов в терминах вероятностей встречи, проиллюстрированных на рис. 3b. Как видно, при достаточно больших начальных расстояниях r квантовый протокол «-» превосходит как классический протокол, так и

 $^{^{8)}}$ Нет необходимости рассматривать отдельно вероятность расхождения как такового, поскольку $\mathcal{D}_{con} = \overline{\mathcal{D}}_{div}$.

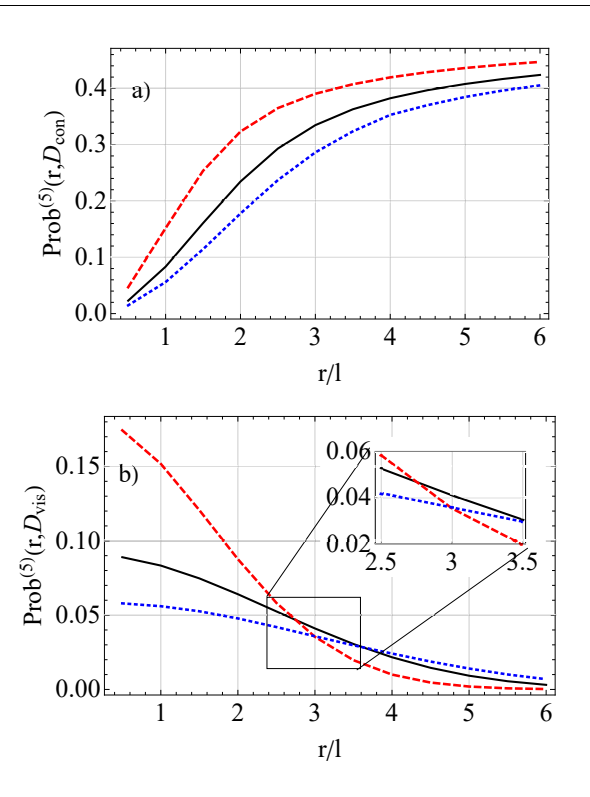


Рис. 3. Вероятности сближения на любое расстояние r' < r (a) и на дистанцию прямой видимости $l_{vis} = l$ (b) после последовательности из n=5 шагов как функции начального расстояния r для классических случайных блужданий (черные сплошные линии), квантового протокола «+» (красные штриховые линии) и квантового протокола «-» (синие пунктирные линии). На рис. b в окрестности r=3l оба квантовых протокола не дают преимущества по сравнению с классическим

квантовый протокол «+». Качественное объяснение этого эффекта таково: несмотря на большее среднее расстояние между участниками в результате выполнения протокола «-», его дисперсия также увеличивается. В результате вероятность оказаться в области малых r' повышается по сравнению с протоколом «+» и классическим протоколом. Таким образом, более сильные флуктуации в квантовом протоколе «-» компенсируют увеличение среднего расстояния между участниками. При уменьшении начального расстояния различие между средними конечными расстояниями $\langle r' \rangle^{(n)}$ в различных протоколах становится более выраженным (см. рис. 2a), а различие флуктуаций, наоборот, уменьшается (см. рис. 2b). Поэтому при малых начальных расстояниях квантовый протокол «+» более эффективен для задачи поиска. Примечательно, что между двумя областями, в которых наиболее эффективен тот или иной квантовый протокол, существует промежуточная область (на рис. 3b это небольшая окрестность

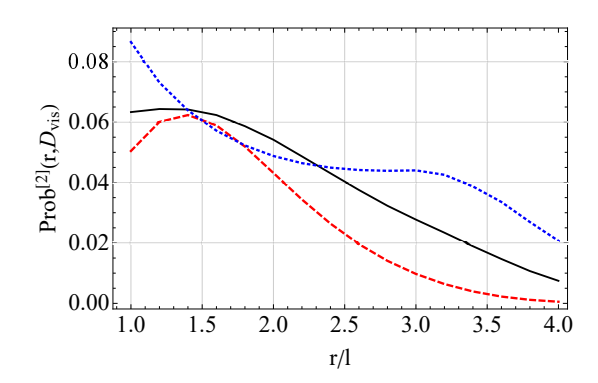


Рис. 4. Вероятности сближения на дистанцию прямой видимости $l_{vis}=l$ на втором шаге как функции начального расстояния r для классических случайных блужданий (черная сплошная линия), квантового протокола «+» (красная штриховая линия) и квантового протокола «-» (синяя пунктирная линия)

r=3l, более подробно представленная на вставке), в которой оба протокола проигрывают классическим случайным блужданиям.

Анализ вероятностей встречи при малых начальных расстояниях⁹⁾ требует дополнительных соображений. Дело в том, что в этом случае существует неучтенная в (16) вероятность того, что участники окажутся в заданной области \mathcal{D}_{vis} раньше, чем за n шагов. Пусть минимально необходимое для этого при заданном r количество шагов равно n_{min} . К примеру, для сближения на l_{vis} оно, очевидно, составляет целую часть числа $(r - l_{vis})/2l$ (с округлением вверх). В этом случае следует дополнительно рассчитать вероятность того, что попадание в заданную область \mathcal{D} произойдет s точности на шаге с номером s:

$$\operatorname{Prob}_{0,\pm}^{[n]}(r,\mathcal{D}) = \int_{\mathcal{D}} dr^{(n)} \int_{\overline{\mathcal{D}}} dr^{(n-1)} \dots$$
$$\dots \int_{\overline{\mathcal{D}}} dr^{(1)} P_{0,\pm}^{(1)}(r^{(n)}|r^{(n-1)}) \dots P_{0,\pm}^{(1)}(r^{(1)}|r), \quad (17)$$

где область $\overline{\mathcal{D}}$ дополняет \mathcal{D} до полной области определения функции $P_{0,\pm}^{(n)}(r'|r)$. С учетом того, что впервые указанное событие может произойти не ранее шага с номером n_{min} , можно привести (17) к виду

 $^{^{9)}}$ Имеются в виду расстояния $r>l_{vis},$ поскольку в ином случае участники обнаружат друг друга сразу же.

$$\operatorname{Prob}_{0,\pm}^{[n]}(r,\mathcal{D}) = \int_{\mathcal{D}} dr^{(n)} \int_{\overline{\mathcal{D}}} dr^{(n-1)} \dots$$

$$\dots \int_{\overline{\mathcal{D}}} dr^{(n_{\min}+1)} \int_{\overline{\mathcal{D}}} dR P_{0,\pm}^{(1)}(r^{(n)}|r^{(n-1)}) \dots$$

$$\dots P_{0,+}^{(1)}(r^{(n_{\min}+1)}|R) P_{0,+}^{(n_{\min})}(R|r). \quad (18)$$

В случае $n=n_{min}$ это выражением совпадает с (17), но при $n>n_{min}$ оно оказывается скорректированным в меньшую сторону. Результаты вычисления для наиболее простого случая двух шагов приведены на рис. 4. Основное отличие от вероятностей, приведенных на рис. 3 — иное поведение функций при малых r. Наиболее выгодным оказывается использование протокола «—», несмотря на установленное более быстрое расхождение в терминах среднего расстояния. Кроме того, как и в рассмотренном выше случае сходимости ϵ результате цепочки шагов, имеется область, в которой оба квантовых протокола проигрывают классическому.

Наконец, можно было бы рассмотреть вероятность того, что расстояние между участниками окажется в заданном интервале \mathcal{D} в любой момент выполнения протокола блужданий:

$$\operatorname{Prob}_{0,\pm}^{\{n\}}(r,\mathcal{D}) = 1 - \int_{\overline{\mathcal{D}}} dr^{(n)} \dots$$

$$\dots \int_{\overline{\mathcal{D}}} dr^{(1)} P_{0,\pm}^{(1)}(r^{(n)}|r^{(n-1)}) \dots P_{0,\pm}^{(1)}(r^{(1)}|r). \quad (19)$$

Это наиболее актуально для случая длинных последовательностей шагов или малых начальных расстояний. Однако, поскольку при использовании любого протокола расстояние между частицами в среднем увеличивается, увеличение числа шагов в протоколе не приведет к существенному повышению вероятности встречи. Поэтому по крайней мере в контексте задачи поиска анализ выражения (19) не принесет существенно новой информации по сравнению с анализом в терминах критериев (16) и (17). Что касается задачи антипоиска, то для нее квантовый протокол «—» во всех случаях является наиболее эффективным, поскольку обеспечивает наиболее быстрое увеличение среднего расстояния между участниками.

4. ЗАКЛЮЧЕНИЕ

Мы проанализировали два квантовых протокола в задаче о случайных блужданиях двух участников с точки зрения вероятностей их сближения или расхождения. Несмотря на достаточно простые соотношения между изменениями среднего квадрата расстояний за один шаг для квантовых протоколов (один из них, протокол «-», дает более быстрое расхождение по сравнению с классическими блужданиями, а другой, протокол «+» — более медленное, причем на ту же самую величину), анализ более длинных последовательностей шагов обнаруживает ряд нетривиальных соотношений. Если задаться целью определения вероятности обнаружить участников в определенном диапазоне расстояний спустя определенное число шагов, то в зависимости от начального расстояния может быть эффективен тот или иной квантовый протокол. Протокол «+» оказывается более эффективным при небольших начальных расстояниях между участниками, а протокол «-» — при больших по сравнению с длиной шага. При этом существует промежуточный интервал значений начального расстояния, при которых оба протокола могут проигрывать по эффективности обычным случайным блужданиям. В то же время при рассмотрении задачи о наиболее эффективном удалении друг от друга выбор в пользу квантового протокола «-» всегда обеспечивает выигрыш в терминах как вероятности расхождения в целом, так и удаления на максимально возможное расстояние.

Более быстрое либо более медленное движение участников может быть интерпретировано как движение по поверхности с ненулевой эффективной кривизной [12]. Построенная модель анализа цепочек шагов позволяет поставить вопрос об изменении этой эффективной кривизны в процессе движения. Это открывает новые перспективы для построения нового «геометрического» подхода к анализу квантовых корреляций.

Финансирование. Работа выполнена в рамках Государственного задания (проект 124041700105-5) в Институте автоматики и электрометрии СО РАН.

ЛИТЕРАТУРА

- R. Horodecki, P. Horodecki, M. Horodecki, and K. Horodecki, Rev. Mod. Phys. 81, 865 (2009).
- 2. N. Brunner, D. Cavalcanti, S. Pironio, V. Scarani, and S. Wehner, Rev. Mod. Phys. 86, 419 (2014).
- K. Modi, A. Brodutch, H. Cable, T. Paterek, and V. Vedral, Rev. Mod. Phys. 84, 1655 (2012).
- **4**. C. H. Bennett, G. Brassard, C. Crépeau et al., Phys. Rev. Lett. **70**, 1895 (1993).

- D. Bouwmeester, J.-W. Pan, K. Mattle, M. Eibl, H. Weinfurte, and A. Zeilinger, Nature 390, 575 (1997).
- 6. A. K. Ekert, Phys. Rev. Lett. 67, 661 (1991).
- **7**. M. Hillery, V. Buzek, and A. Berthiaume, Phys. Rev. A **59**, 1829 (1999).
- 8. C. H. Bennett and G. Brassard, Proc. IEEE Int. Conf. on Computers, Systems and Signal Processing (IEEE, 1984), pp. 175–179 (1984).
- **9**. G. Brassard, A. Broadbent, and A. Tapp, Found. Phys. **35**, 1877 (2005).

- 10. N. D. Mermin, Rev. Mod. Phys. 65, 803 (1993).
- 11. A. Peres, Phys. Lett. A 151, 107 (1990).
- **12**. A. M. Rostom, V. A. Tomilin, and L. V. Il'ichov, Chinese J. Phys. **90**, 1095 (2024).
- **13**. Г. Н. Ватсон, *Теория бесселевых функций*, Изд-во иностр. лит., Москва (1949).
- **14**. А. П. Прудников, Ю. А. Брычков, О. И. Маричев, *Интегралы и ряды*, т. 2, *Специальные функции*, Физматлит, Москва (2003).
- **15**. J. Covey and D. L. Maslov, arXiv:2408.08155v3 (2024).